

# 单杭の横抵抗に関する実験

運輸技術研究所

篠原登美雄 久保浩一  
井口 弘 村上 守

砂中に於ける单杭が静的荷載方向力を受ける場合、单杭の横抵抗に就いて数種の模型杭によつて実験を実施し、既に前回に於てその概要を報告しつゝあるが、その後現在迄に整理取纏めた事項より二三の主要結果を次に報告する。

## 1 橫方向力と杭頭部変位

杭頭部変位として測定した曲げモーメントの分布図より其の回積分値として求めた砂表面に於ける沈み量を探り、これを其の時の横方向力との関係は次式で表示することが出来る。

$$T = K (1 - e^{-c\delta}) \quad \text{--- (1)}$$

$T$  : 横方向力(kg)  $\delta$  : 杭頭部変位(cm)

上式に於ける  $K$ ,  $c$  は常数であるが、これを剛性  $EI$  及び  $C$  杭巾  $B$  の変化する模型杭群に就いて検討してみる。

$$\left. \begin{aligned} K &= \rho (EI / 10^6)^{\alpha_1} & \rho &= 140 + 0.003 B(\text{cm}) \\ C &= 0.026 (EI / 10^6) + 0.47 \end{aligned} \right\} \quad \text{--- (2)}$$

となり、図-1 及び図-2 に示す如く計算値と測定値とは比較的よく一致している。

## 2 横方向力と最大曲げモーメント

曲げモーメント分布図に於ける最大値とその時の横方向力との関係を求めみると図-3 に示す如く、I 曲線上に  $EI = 1 \sim 10 \times 10^6 \text{ kg cm}^2$  II 曲線上に  $10 \sim 100 \times 10^6 \text{ kg cm}^2$  の模型杭の  $T - M_{max}$  が集約されたている。杭巾  $B$  を異にする模型杭群も  $EI$  によつて I 曲線上に来る。即ち杭に生ずる最大曲げモーメントは横方向力に比例するが、 $EI$  はモーメントの分布長さのみ大きさに影響を与えている。

## 3 杭面に於ける砂の反力係数

杭面に生ずる砂の抵抗には次の二つの場合が考えられる。

(1) 杭面に Rankine 土圧が働く場合 即ち杭表面に働く抵抗土圧強度が深さ  $\delta$  に比例する場合

$$P = K_s \times B \quad B : \text{杭巾}$$

(2) 杭面に働く抵抗土圧強度が深さ  $\delta$  の  $\gamma$  の変位量  $\gamma$  に比例する場合

$$P = K_a \times \gamma B$$

曲げモーメント分布図より其の回積分値として求めた杭面反力分布曲線より上述の  $K_s$ ,  $K_a$  を求めれば別表の如くなる。

図-1  $T-\delta$  測定値-計算値比較  
LS-1 group

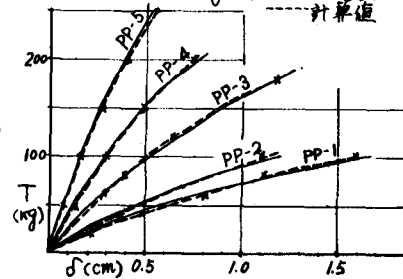


図-2  $T-\delta$  測定値-計算値比較

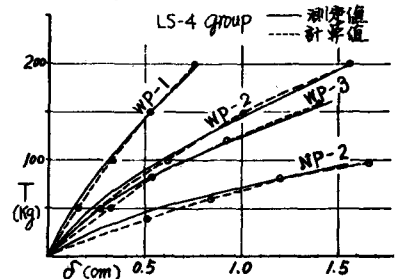
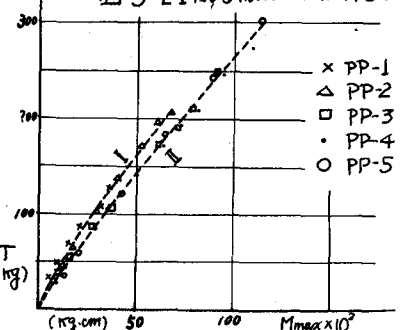


図-3 EIによるmoment max-T関係



表より判る如く(1)の  $K_1$  に比較して (2) の場合の  $K_2$  は荷重の大きさによつて異なるが同一荷重に対してはほゞ常数として取扱つてよしと思はれる。現在この関係を利用して、(1)～(2)式を解析的に求め數値的な比較検討を行つてみる。

#### 4. 模型相似に対する検討

##### 杭の撓み曲線の基本方程式

$$EI \frac{d^4y}{dx^4} = -P \quad \dots \dots \dots (3)$$

は就いて模型相似を考える

模型杭と原型との撓みを相似させるために  
には、対応する点Xにおいて次式が成立し  
なければならぬ。

$$\frac{xy}{x_m} = R_x = \text{Const.}$$

$$\frac{y_p}{y_m} = R_y = \text{Const.}$$

深さ(z)cm	横す向力(T)kg						$K_1, K_2$ の數値
	LS-1.PP-2	10	20	30	40	50	
10	$K_1$	16.5	22.7	29.3	39.8	66.5	50 82.7
	$K_2$	1.06	0.91	0.78	0.63	0.40	0.61 0.37
20	$K_1$	11.4	15.6	18.7	29.4	37.9	41.7 41.7
	$K_2$	1.41	1.13	0.87	0.67	0.57	0.63 0.66
30	$K_1$	8.1	6.6	9.1	15.1	20.0	24.6 27.1
	$K_2$	1.23	1.08	0.96	0.66	0.70	0.65 0.55
<hr/>							
LS-1.PP-4	$P_1$	37.0	68.8	106.6	141	172	208.6 266.6
	$K_1$	1.7	2.5	2.8	2.5	2.2	2.2 2.2
10	$K_2$	1.94	1.57	1.09	0.89	0.76	1.56 1.51
	$K_1$	2.0	12.0	10.0	22.7	27.5	20.0 24.1
20	$K_2$	2.6	1.71	1.06	1.02	0.89	0.72 0.63
	$K_1$	5.0	1.6	1.06	1.09	20.0	0.64 0.66
30	$K_2$	2.8	2.08	1.59	1.03	0.99	0.70 0.68
	$K_1$						

従つて式(3)が

$$\frac{P_p}{EI_p} = \left( \frac{R_y}{R_x^2} \right) \frac{P_m}{EI_m} \quad \text{又: } 1 = \frac{P_p}{P_m} = R_p = \text{Const.} \quad \frac{EI_p}{EI_m} = R_{EI} = \text{Const.} \text{ で (1) は}$$

$$R_{EI} = R_p \frac{R_x^2}{R_y} \quad \dots \dots \dots (4)$$

したがつて  $R_p = R_x R_y R_B$  であるから

$$R_{EI} = R_x^2 R_B \quad \dots \dots \dots (5)$$

又同様に

$$\begin{aligned} R_S &= R_x^2 R_y R_B \\ R_M &= R_x^3 R_y R_B \end{aligned} \quad \dots \dots \dots (6)$$

即ち相似の條件式として以上の(4)～(6)式成立すればよいことになる。実験に使用した模型杭向に於て上式が適用性を検討した結果充分満足され得ることが判つた。従つて模型杭として使用した平鋼杭の円管杭への適用性、及び模型杭より原型杭の適用範囲について検討するところが本題だ。

以上